

本日は y-fast trie という  
データ構造を取り扱います。

# y-fast tries

2020年度前期・高度データ構造

## 省領域な整数データ構造

---

### 【前回のおさらい】

- ▶ van Emde Boas trees は 各クエリ・操作を  $O(\log \log u)$  時間,  $O(u)$  領域で実現.  
 $u$  は全体集合のサイズ.
- ▶ 欠点: 集合  $S$  のサイズ  $n$  に関わらず, 常に  $O(u)$  領域を必要としてしまう

### 【今週のデータ構造】

- ▶ x-fast tries [Willard 1983]:  $O(n \log u)$  領域
  - ▶ y-fast tries [Willard 1983]:  $O(n)$  領域
  - ▶ 各クエリに要する時間はどちらも  $O(\log \log u)$
- 

前回の講義では、各クエリ・操作を  $O(\log \log u)$  時間  
で実現する van Emde Boas  
tree を取り扱いました。  
ここで  $u$  は全体集合  $U$  の  
サイズです。

van Emde Boas tree の欠点  
として、集合  $S$  の要素数  $n$   
に関わらず、常に  $O(u)$  領  
域を必要としてしまうことが  
あります。

そこで今週は、より省領域  
で  $O(\log \log u)$  時間クエリ  
を実現するデータ構造を扱  
います。

まず、最初のステップとして  
 $O(n \log y)$  領域の x-fast trie  
を紹介します。  
次に、その省領域版である  
y-fast trie を紹介します。y-  
fast trie の領域は  $O(n)$  で  
す。

## 省領域な整数データ構造

---

### 【前回のおさらい】

- ▶ van Emde Boas trees は 各クエリ・操作を  $O(\log \log u)$  時間,  $O(u)$  領域で実現.  
 $u$  は全体集合のサイズ.
  - ▶ 欠点: 集合  $S$  のサイズ  $n$  に関わらず, 常に  $O(u)$  領域を必要としてしまう

### 【今週のデータ構造】

- ▶ x-fast tries [Willard 1983]:  $O(n \log u)$  領域
  - ▶ y-fast tries [Willard 1983]:  $O(n)$  領域
  - ▶ 各クエリに要する時間はどちらも  $O(\log \log u)$
- 

### 【余談】

似たような名前のデータ構造に、この講義の前半で扱った p-fast trie と q-fast trie がありました。

x-fast trie と y-fast trie の関係は、まさに p-fast trie と q-fast trie の関係と同様です(つまり、ほぼ同じアイデアを使って省領域化を実現します)

なお、これら4つのデータ構造はすべて同じ著者(D. Willard)によって発表されました。

## x-fast trie

---

- ▶  $U = \{1, 2, 3, \dots, u\}$  とする.
  - ▶  $S \subseteq U$  の x-fast trie は以下を満たす2分木.
    - ▶ 高さ  $h = \log_2 u$
    - ▶ 各葉は  $S$  の各要素に対応する.
    - ▶ 葉は双方向連結リストで連結されている.
    - ▶ 高さ  $j$  の各頂点  $v$  は, ある整数  $i$  について  $[(i-1)2^{j+1}, i \cdot 2^j] \cap S$  に対応する. このとき,  $\text{id}(v) = i$  と書く.
- 
- ▶

それでは、x-fast trie を解説していきます。

いつものように、全体集合を  $U = \{1, 2, 3, \dots, u\}$  とします。

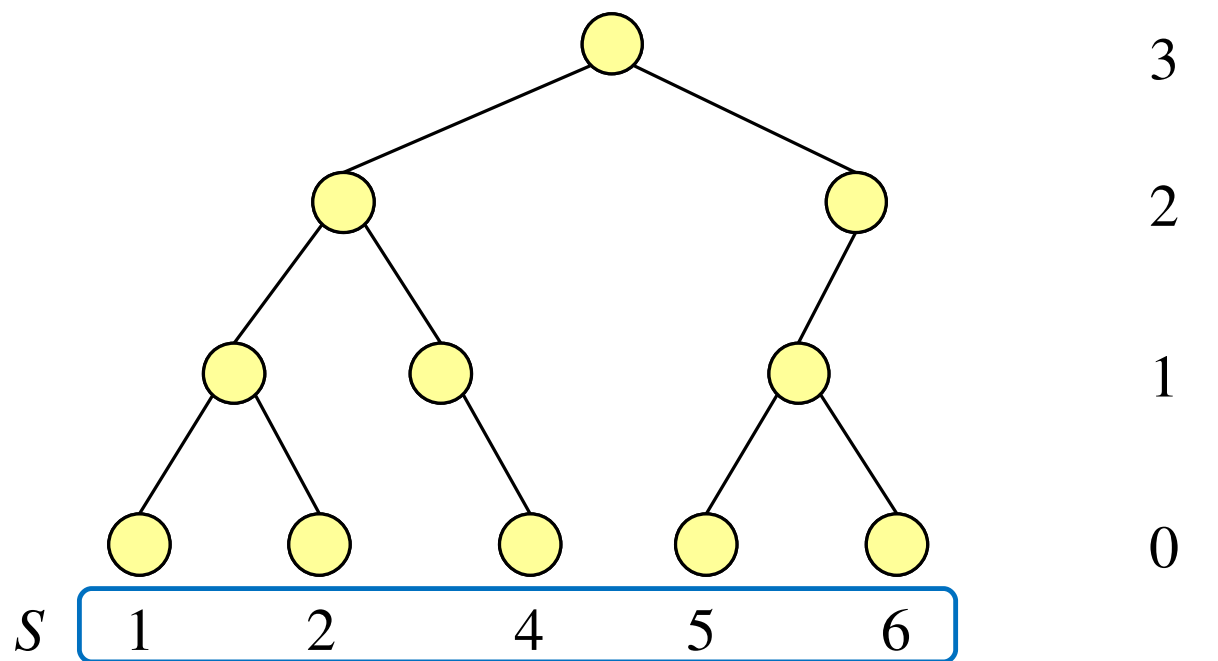
$U$  の部分集合  $S$  の x-fast trie は以下を満たす2分木です。

- 高さ  $h = \log_2 u$  である。
- 各葉は  $S$  の各要素に対応する。
- 葉は双方向連結リストで連結されている。
- 高さ  $j$  の各頂点  $v$  は, ある整数  $i$  について  $[(i-1)2^{j+1}, i \cdot 2^j] \cap S$  に対応する. このとき,  $\text{id}(v) = i$  と書く.

4つ目の条件、すなわち  $\text{id}(v)$  の定義については、次のページの例を使って説明します。

# x-fast trie

▶  $U = \{1, 2, 3, \dots, 8\}$ ,  $S = \{1, 2, 4, 5, 6\}$



全体集合を  $U = \{1, 2, 3, \dots, 8\}$  とし、その部分集合  $S = \{1, 2, 4, 5, 6\}$  を考えます。

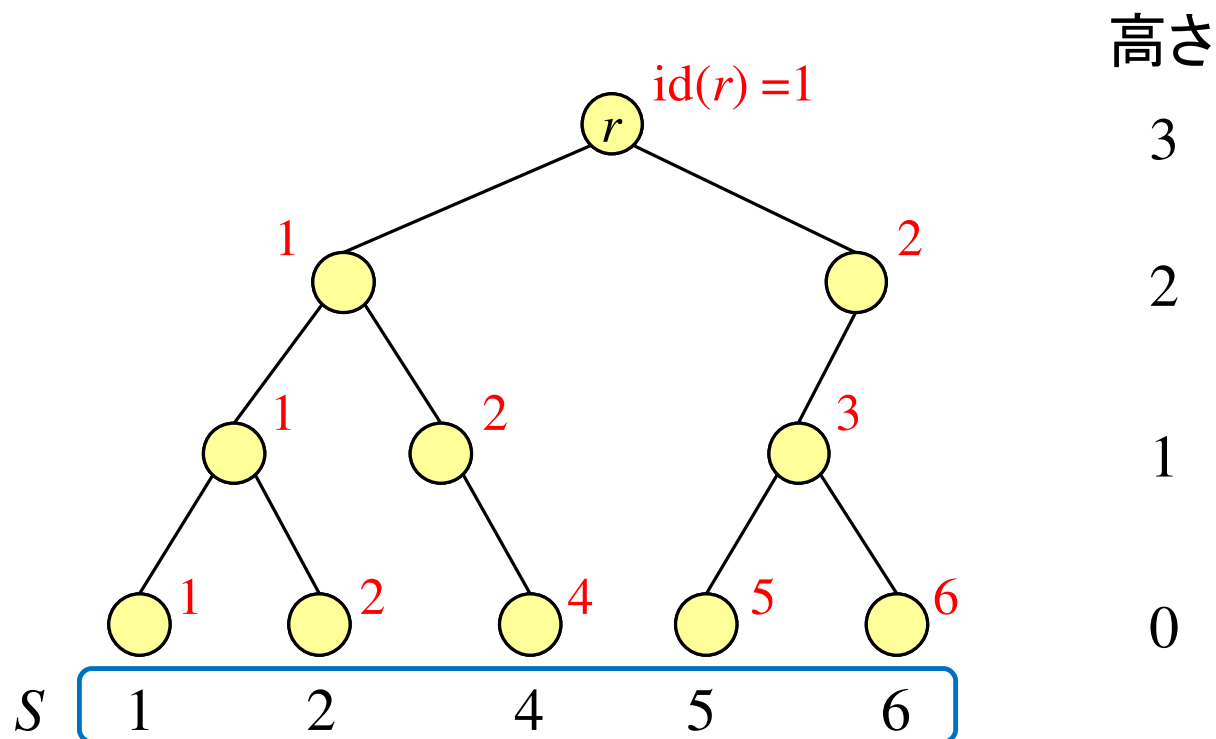
この  $S$  に対する x-fast trie はこのような木構造から成ります。

まず、高さは  $\log_2(8) = 3$  です。

葉はそれぞれ  $S$  の要素 1, 2, 4, 5, 6 に対応しています。

# id関数

▶  $U = \{1, 2, 3, \dots, 8\}, S = \{1, 2, 4, 5, 6\}$



x-fast trie の各頂点  $v$  について  $id(v)$  の値は、この例だとこのようになります。

直感的には、以下の  $id(v)$  は以下のような値です。

全体集合  $U$  に対する(想像上の)完全2分探索木を仮想的に考えてみましょう。

この完全2分探索木の上に x-fast trie を重ね合わせたとき、x-fast trie の頂点が各高さで左から何番目にあるか、というのが  $id$  の値です。

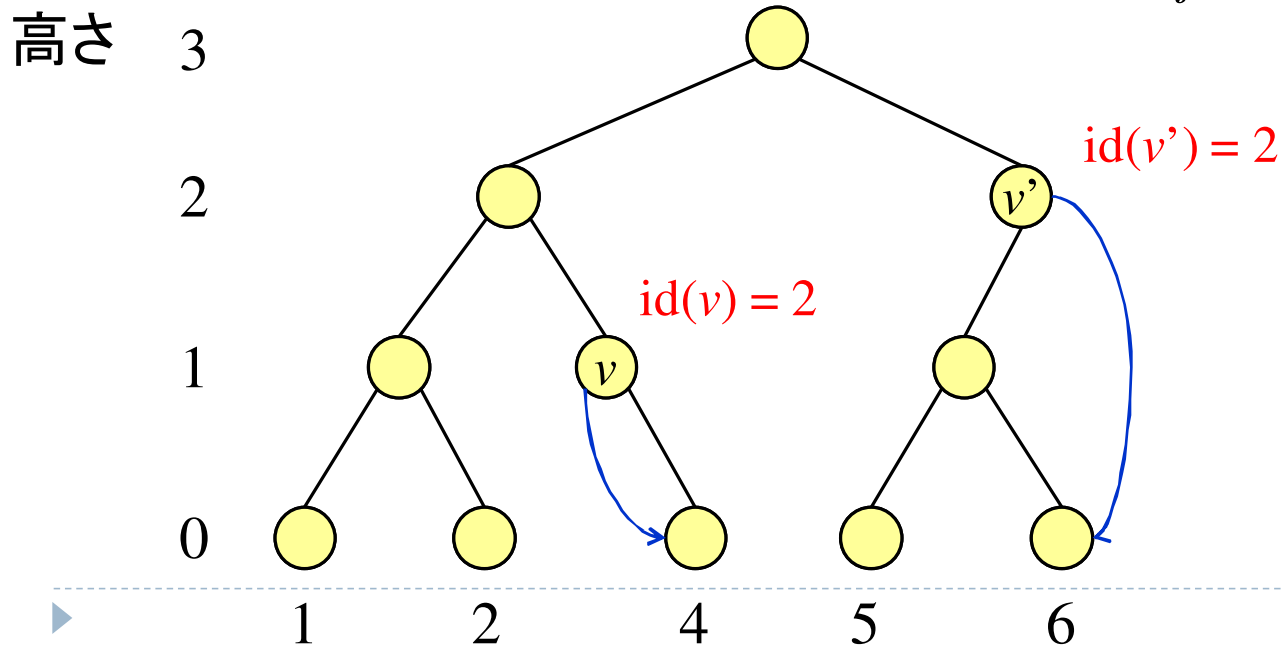
例えば、高さ 0 (葉の列) については、 $id$  の値は左から 1, 2 ときて、3 番目の葉はないので飛ばして、次に 4, 5, 6, となり、7 番目と 8 番目の葉はない、という感じ です。

# descendant関数

descendant ( $v$ )

$$= \begin{cases} \min([\text{id}(v) - 1)2^j + 1, \text{id}(v)2^j] \cap S & v \text{ が左の子を持たないとき} \\ \max([\text{id}(v) - 1)2^j + 1, \text{id}(v)2^j] \cap S & v \text{ が右の子を持たないとき} \end{cases}$$

ただし  $j$  は  $v$  の高さ

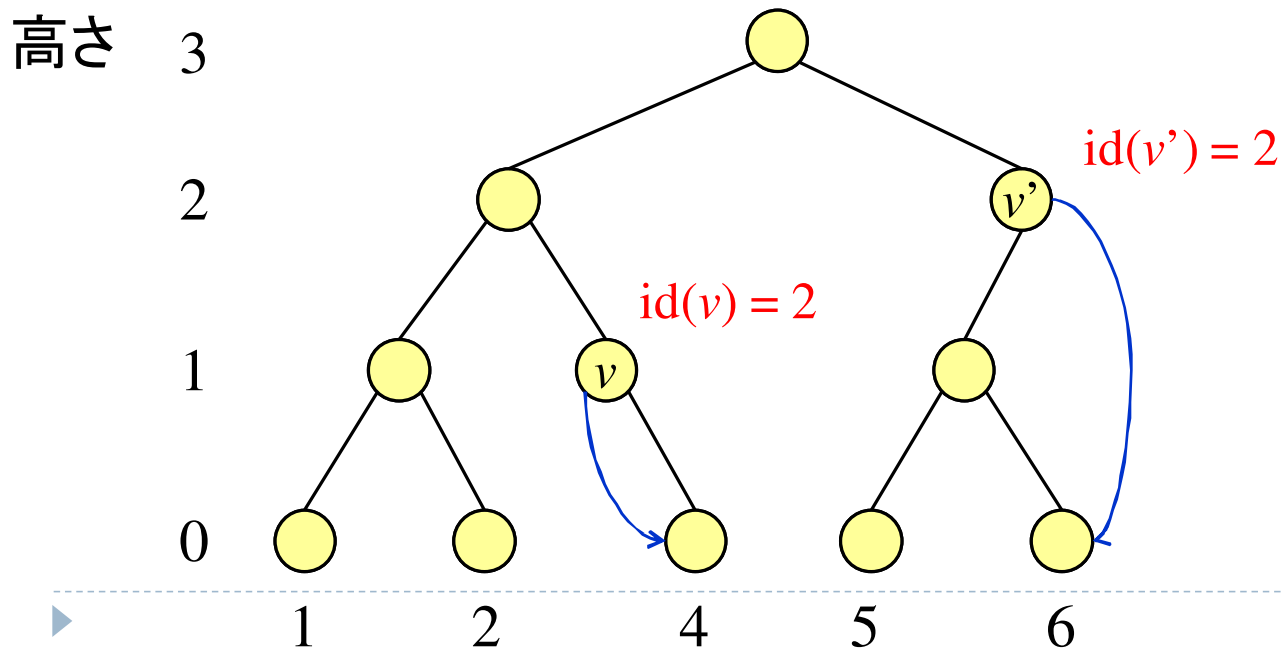


次に、descendant 関数を導入します。

各頂点  $v$  について、 $\text{descendant}(v)$  は数学的にはこのように定義されますが、式だけ見ると辛いので、次のページで直感的に説明します。

## descendant関数

- ▶ 言い換えると,  $v$  が左の子を持たないとき,  $\text{descendant}(v)$  は  $v$  を根とする部分木の葉の最小値,  $v$  が右の子を持たないときは,  $v$  を根とする部分木の葉の最大値である.



descendant 関数の直感的な説明です。

$v$  が左の子を持たないとき,  $\text{descendant}(v)$  は  $v$  を根とする部分木の葉の最小値  
 $v$  が右の子を持たないとき,  $\text{descendant}(v)$  は  $v$  を根とする部分木の葉の最大値

例えば, この図中の  $v$  は左の子を持ちません。 $v$  を根とする部分木の葉の最小値は 4 なので,  $\text{descendant}(v) = 4$  (青のリンク) となります。

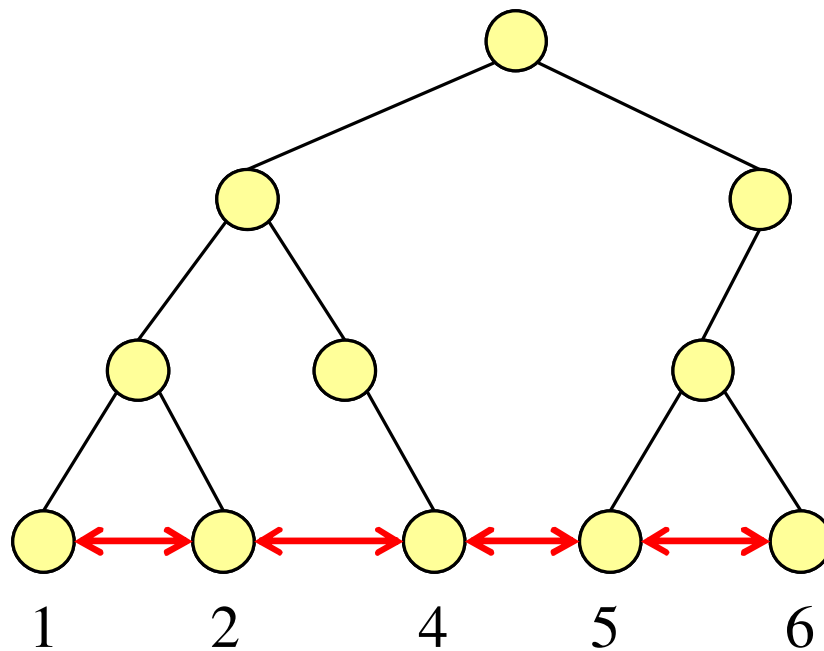
一方, 図中の  $v'$  は右の子を持ちません。 $v'$  を根とする部分木の葉の最大値は 6 なので,  $\text{descendant}(v') = 6$  (青のリンク) となります。

これを数学的に記述すると, 前ページの式のようになります。



## 葉の双方向連結リスト

- ▶ 任意の葉から隣の葉に  $O(1)$  時間でアクセス可能

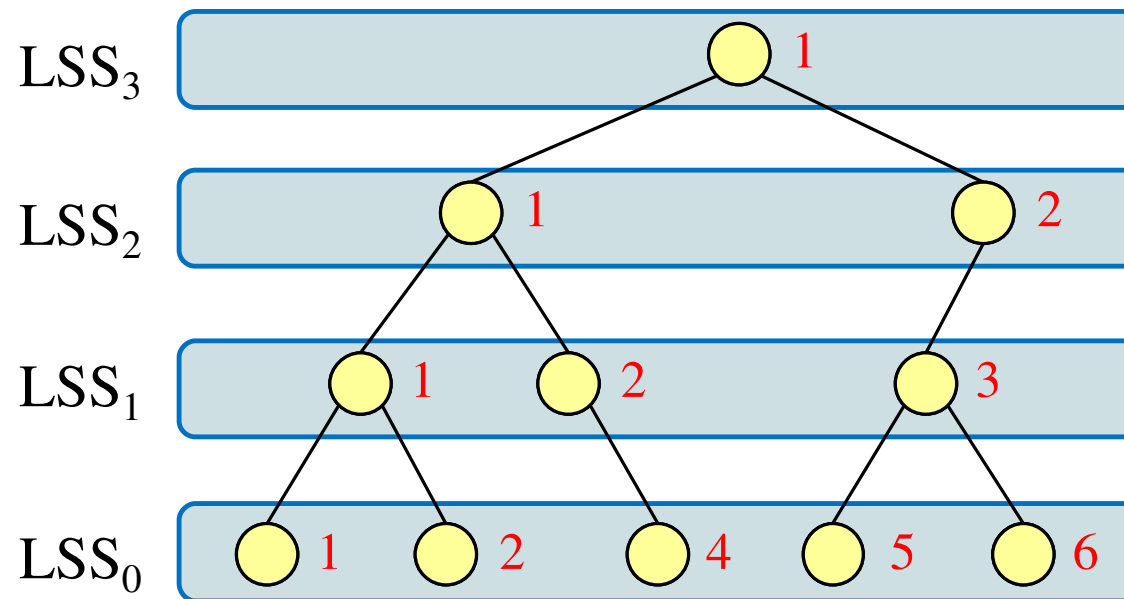


x-fast trie の葉を双方向連結リストに格納しておきます。

こうすることで、任意の葉から隣の葉に定数時間でアクセス可能になります。

# level search structure (LSS)

▶  $LSS_j$ : 高さ  $j$  の頂点の id のリスト



次に、level search structure (LSS) との補助データ構造を導入します。

各高さ  $j$  について、 $LSS_j$  は高さ  $j$  の頂点の id のリストです。

この図の例では

$LSS_0$  は 1, 2, 4, 5, 6 のリスト

$LSS_1$  は 1, 2, 3 のリスト

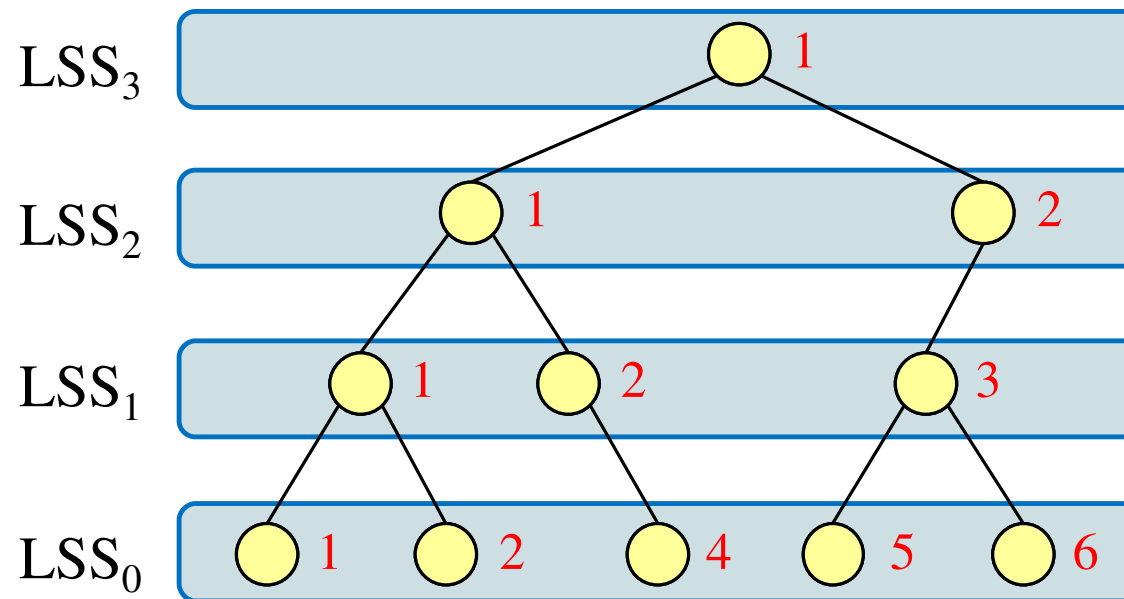
$LSS_2$  は 1, 2 のリスト

$LSS_3$  は 1 のリスト

です。

# level search structure (LSS)

▶  $LSS_j$ : 高さ  $j$  の頂点の id のリスト



ひとまず、各  $LSS_j$  に対する member クエリを  $O(1)$  時間で計算できると仮定する(詳細は後述).

ここで、ひとまず、各  $LSS_j$  に対する member クエリを定数時間で計算できると仮定しましょう。

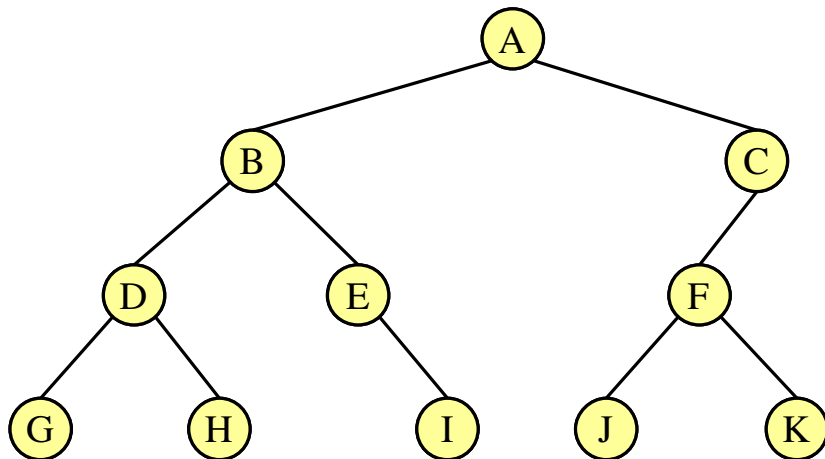
この過程に関する詳細は、この講義の最後で述べます。

# bottom関数

- ▶ 高さ  $j$  の頂点  $v$  が 整数  $x \in U$  の祖先である

$$\Leftrightarrow \left\lceil \frac{x}{2^j} \right\rceil = \text{id}(v) \quad (\text{注: } x \text{ は } S \text{ の要素とは限らない})$$

- ▶  $\text{bottom}(x) = x$  の最も低い祖先



- ▶ 1      2      4      5      6

$\text{bottom}(1) = G$   
 $\text{bottom}(2) = H$   
 $\text{bottom}(3) = E$   
 $\text{bottom}(4) = I$   
 $\text{bottom}(5) = J$   
 $\text{bottom}(6) = K$   
 $\text{bottom}(7) = C$   
 $\text{bottom}(8) = C$

最後に、bottom という関数を導入します。数学的な定義は上に書いた通りですが、直感的には以下の通りです。

整数  $x$  に対して、 $\text{bottom}(x)$  は  $x$  の最も低い祖先です。 $x$  が  $S$  の要素でないときは、仮に  $x$  がそこにあったとした場合の最も低い祖先を返します。

この例でいうと、1 は  $S$  の要素なので、1 に対応する葉 (G) があります。よって、 $\text{bottom}(x) = G$  です。

一方、3 は  $S$  の要素ではありません。ここで、仮に 3 が 2 と 4 の間にあつたとすると、そこから木を上がって初めて最初に当たる頂点は E です。よって、 $\text{bottom}(3) = E$  となります。

$S$  の他の要素についても同様です。確認してみてください。

## bottom関数の計算 [1/3]

---

### 補題

任意の整数  $x \in U$  に対して、  
 $\text{bottom}(x)$  を  $O(\log \log u)$  時間で計算できる。

### 【アルゴリズムの概要】

- ▶ x-fast trie の高さの2分探索を行う。
- ▶ 高さ  $j$  の  $LSS_j$  に対して  $\left\lceil \frac{x}{2^j} \right\rceil$  に関する member クエリを行う。

この bottom 関数について、次の補題が成立します。  
 $U$  の任意の要素  $x$  に対して、 $\text{bottom}(x)$  を  $O(\log \log u)$  時間で計算できます。

計算方法の概要は以下の通りです。

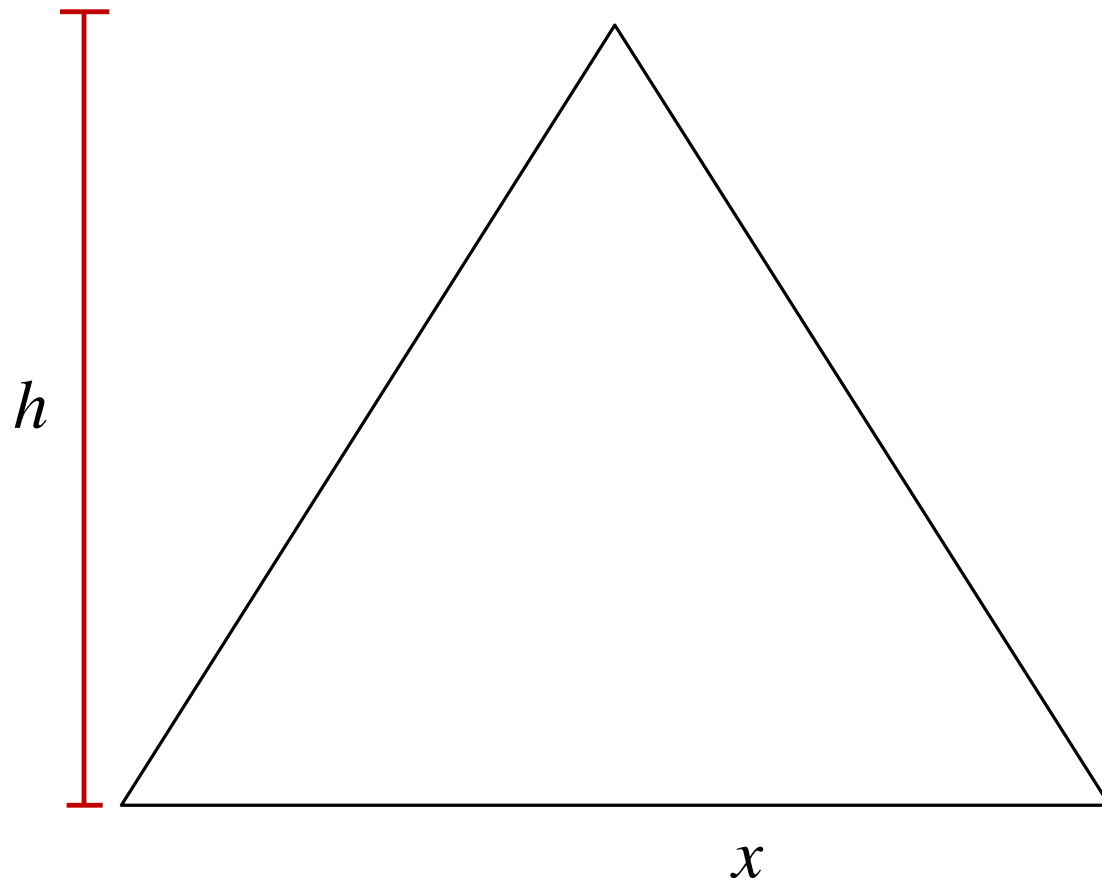
x-fast trie の高さの2分探索を行います(これは前回の van Emde Boas データ構造を木としてみなしたときの解析と似た話です)

2分探索で訪れた各高さ  $j$  について、 $LSS_j$  に対して  $x/2^j$  を繰り上げた値に関する member クエリを行います。

次のスライドでイメージ図を示します。

## bottom関数の計算 [2/3]

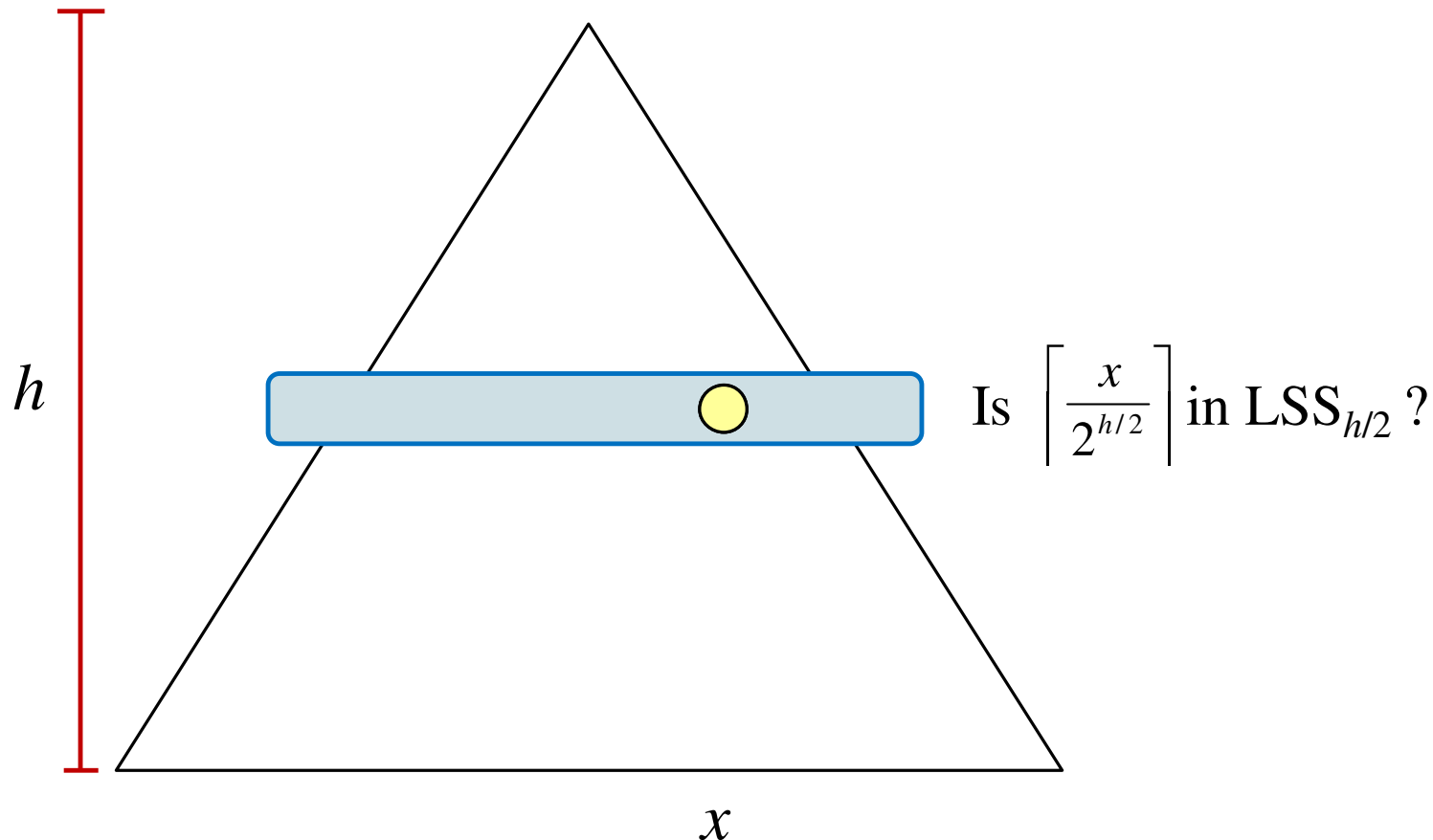
---



この三角形は x-fast trie の  
模式図です。その高さを  $h$   
とします。

いま、与えられた整数  $x$  に  
対して  $\text{bottom}(x)$  を計算し  
ようとしています。

## bottom関数の計算 [2/3]



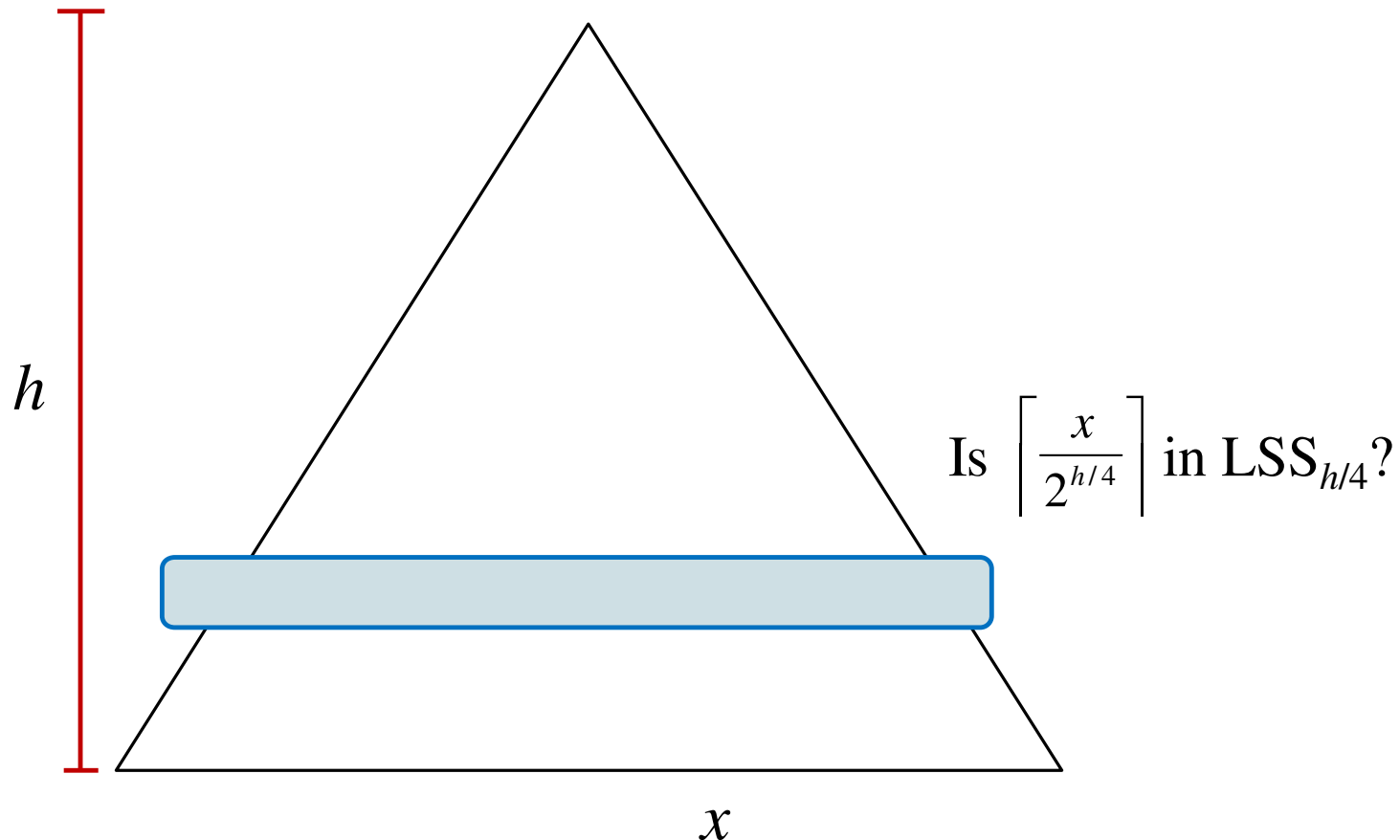
高さの2分探索を行うので、まず半分の高さ  $h/2$  にアクセスし、 $LSS_{h/2}$  における  $x/2^{h/2}$  を繰り上げた値の member クエリを行います。

member クエリの答えが「YES」だったとします(つまり、図の黄色の○が  $x/2^{h/2}$  を繰り上げた値)

$\text{bottom}(x)$  はより下にある可能性があるので、2分探索を続けます。

## bottom関数の計算 [2/3]

---

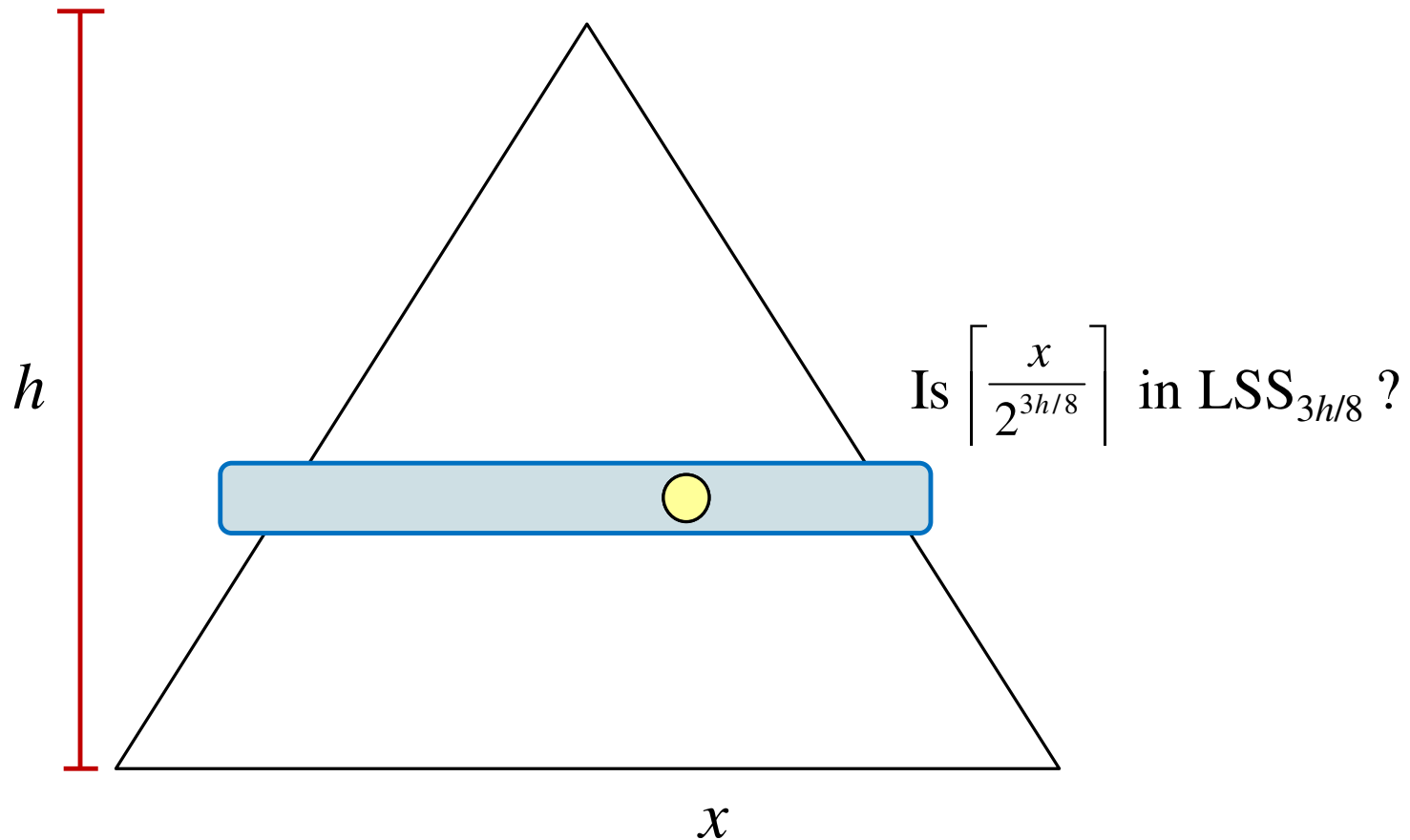


高さ  $h/4$  に対して同様に  $LSS_{h/4}$  に member クエリを行ったところ、答えが「NO」だったとしましょう。

$\text{bottom}(x)$  はもっと上にあるはずなので、2分探索を続けます。



## bottom関数の計算 [2/3]



次に高さ  $3h/8$  で同様の member クエリを行います。

このようにしていくことで、 $x$  の最も低い祖先  $\text{bottom}(x)$  を見つけることができます。

## bottom関数の計算 [3/3]

---

### 補題

任意の整数  $x \in U$  に対して,  
 $\text{bottom}(x)$  を  $O(\log \log u)$  時間で計算できる.

### 【証明の概要】

- ▶ 2分探索の探索回数  $\rightarrow O(\log \log u)$  (trie の高さは  $O(\log u)$ )
  - ▶ LSS に対する member クエリ  $\rightarrow O(1)$  時間 (仮定より)
  - ▶ 全体で  $O(\log \log u) \times O(1) = O(\log \log u)$  時間
- 

この補題の時間計算量を検証します。

x-fast trie の高さは  $h = \log_2 u$  なので、2分探索のステップ数は  $O(\log h) = O(\log \log u)$  です。

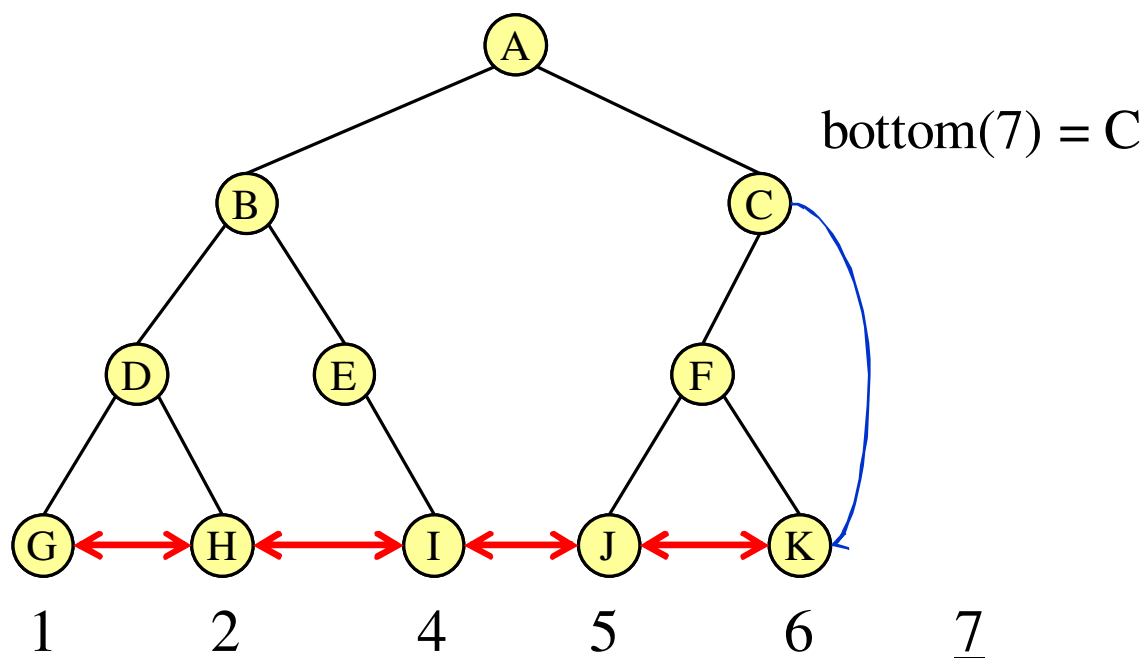
仮定より、LSS に対する毎回の member クエリに要する時間は  $O(1)$  です。

よって、合計  $O(\log \log u)$  時間で  $\text{bottom}(x)$  を計算することができます。

以上で証明終わりです。

# predecessor クエリ with x-fast trie

## 1. $\text{bottom}(x)$ が右の子を持たないとき



それでは、x-fast trie を用いた  $\text{predecessor}(x, S)$  の計算方法に入っていきます。

$x$  が与えられたら、まず前述の補題の方法を用いて  $\text{bottom}(x)$  を計算します。

次のステップでは、場合分けが3つあります。

場合1:  $\text{bottom}(x)$  が右の子を持たない場合、を考えます。

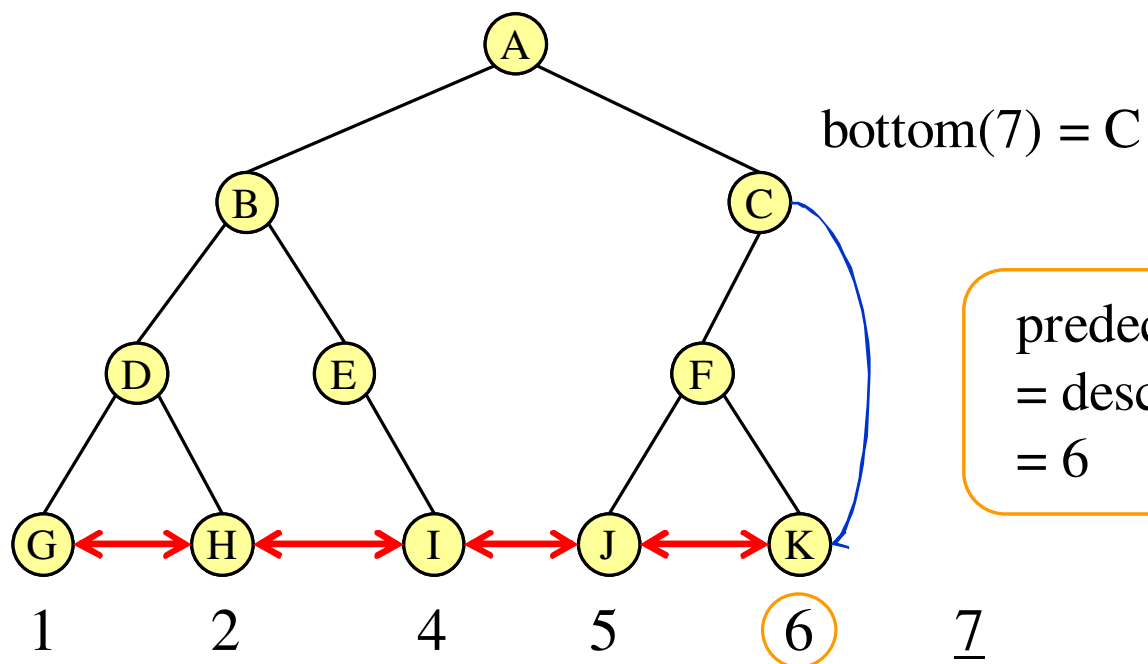
この例では、 $\text{predecessor}(7, S)$  を探しています。 $\text{bottom}(7) = C$  であり、 $C$  は右の子を持ちません。

このとき、 $\text{descendant}(C)$  のリンクを辿って、6 を格納する葉  $K$  にアクセスします。

(次ページに続く)

# predecessor クエリ with x-fast trie

1.  $\text{bottom}(x)$  が右の子を持たないとき

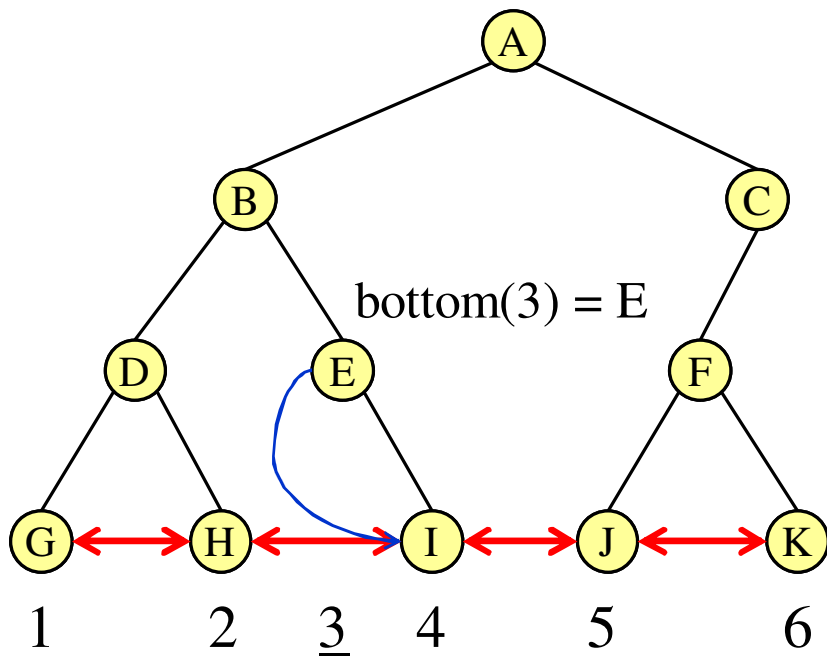


すると、ここが  
 $\text{predecessor}(7, S)$  の答えに  
なっています。

以上が場合1です。

# predecessor クエリ with x-fast trie

## 2. bottom(x) が左の子を持たないとき



場合2: bottom(x) が左の子を持たないとき、を考えます。

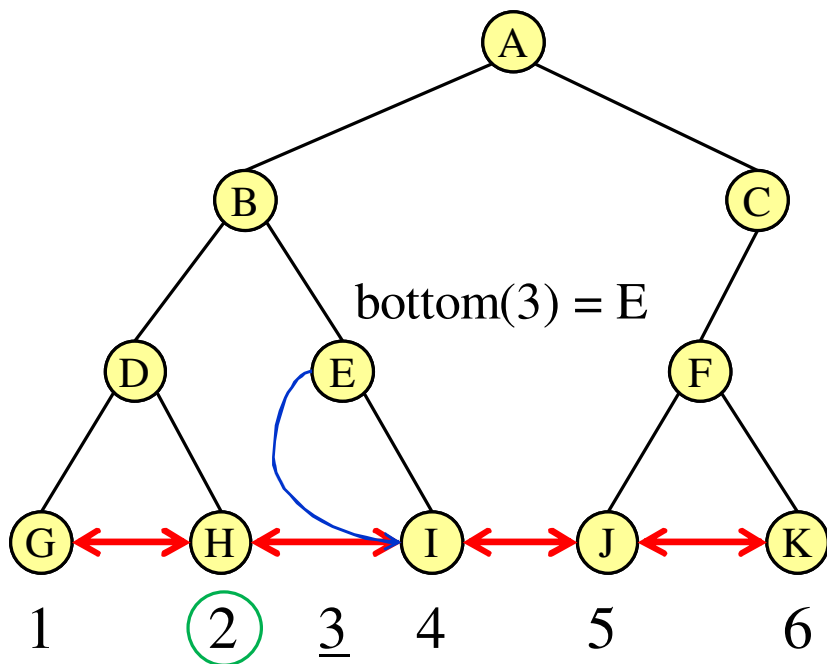
いま、predecessor(3, S) を探しているとしましょう。

まず bottom(3) = E を求めます。E は左の子を持ちません。

(次ページに続く)

# predecessor クエリ with x-fast trie

## 2. bottom(x) が左の子を持たないとき



predecessor(3, S)  
= descendant(E)の左隣り  
= 4の左隣り  
= 2

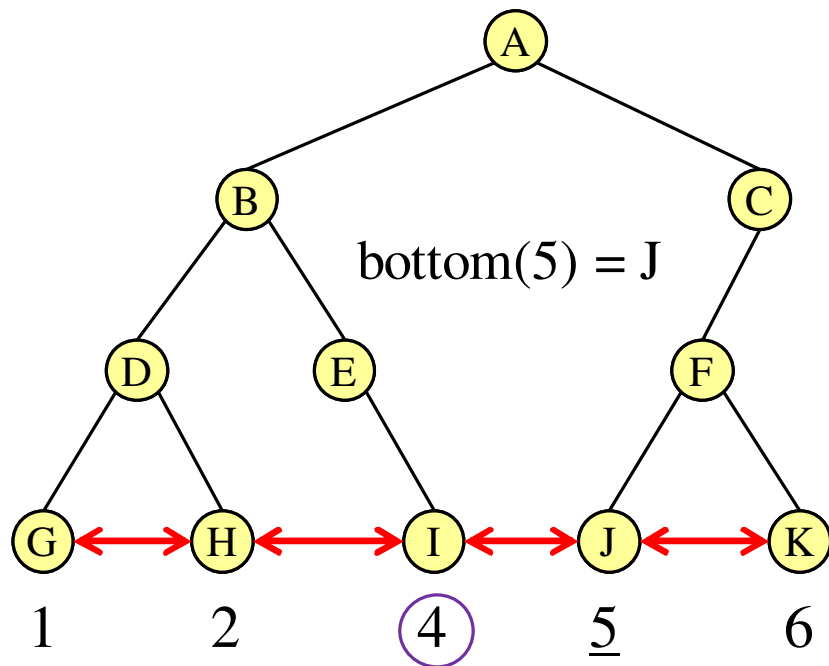
そこで、descendant(E) を辿り、まず 4 を格納する葉 I にアクセスします。

続いて、葉の双方向連結リストを辿って、4 の左隣りの葉 H に移動します。ここに格納されている 2 が predecessor(3, S) の答えです。

以上が場合 2 です。

## predecessor クエリ with x-fast trie

### 3. $\text{bottom}(x)$ が子を持たないとき $\Leftrightarrow x \in S$ のとき



predecessor(5, S)  
= 5の左隣り  
= 4

場合3:  $\text{bottom}(x)$  が子を持たないとき、を考えます。

木の頂点の中で、子を持たないのは葉のみです。よって、場合3は  $\text{bottom}(x)$  が葉である、つまり  $x$  が  $S$  の要素である場合です。

よって、 $\text{bottom}(x)$  に対応する葉(図の例では4)から双方向連結リストを用いて、左隣りの葉に移動すればよいことになります。

場合3は以上です。

## predecessor クエリの時間計算量

---

### 定理

x-fast trie を用いることにより,  
predecessor( $x, S$ ) を  $O(\log \log u)$  時間で計算できる

### 【証明の概要】

- ▶ bottom( $x$ ) の計算  $\rightarrow O(\log \log u)$  時間 (補題より)
  - ▶ 各頂点  $v$  に対する descendant( $v$ ) の計算  $\rightarrow O(1)$  時間
  - ▶ 隣の葉への移動  $\rightarrow O(1)$  時間 (双方向リスト)
  - ▶ よって, 全体で  $O(\log \log u) + O(1) + O(1) = O(\log \log u)$  時間
- 

以上をまとめて、この定理を得ます。

定理: x-fast trie を用いることによつて、predecessor( $x, S$ ) を  $O(\log \log u)$  時間で計算できます。

証明の概要です。

補題より、bottom( $x$ ) を  $O(\log \log u)$  時間で計算できます。

各頂点  $v$  に対する descendant は、リンクを辿るだけなので定数時間です。

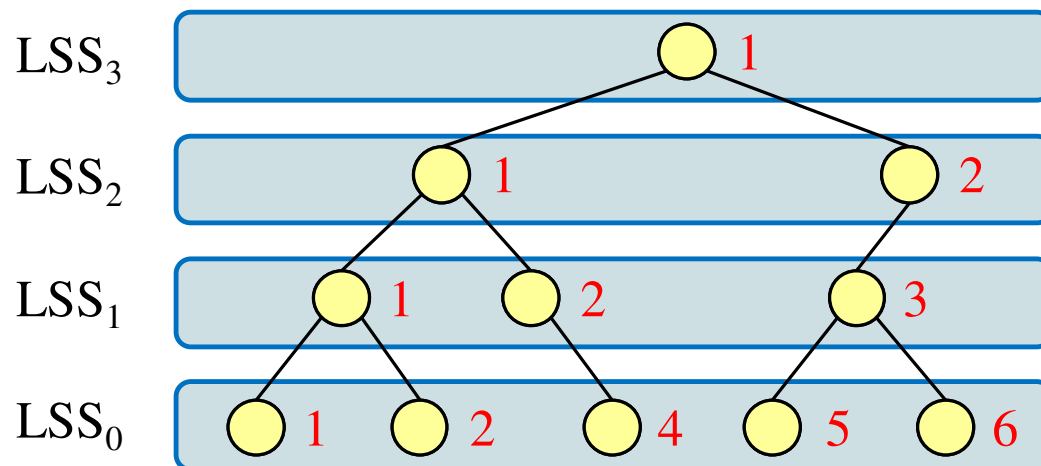
隣の葉への移動も、双方向連結リストを辿って定数時間で行えます。

よつて、全体で  $O(\log \log u)$  時間となります。



## x-fast trie の領域計算量 [1/2]

- ▶ ひとまず、要素数  $k$  の整数集合に対して、 $O(1)$  時間で member クエリに答えることができる  $O(k)$  領域の LSS データ構造があると仮定 (詳細は後述)



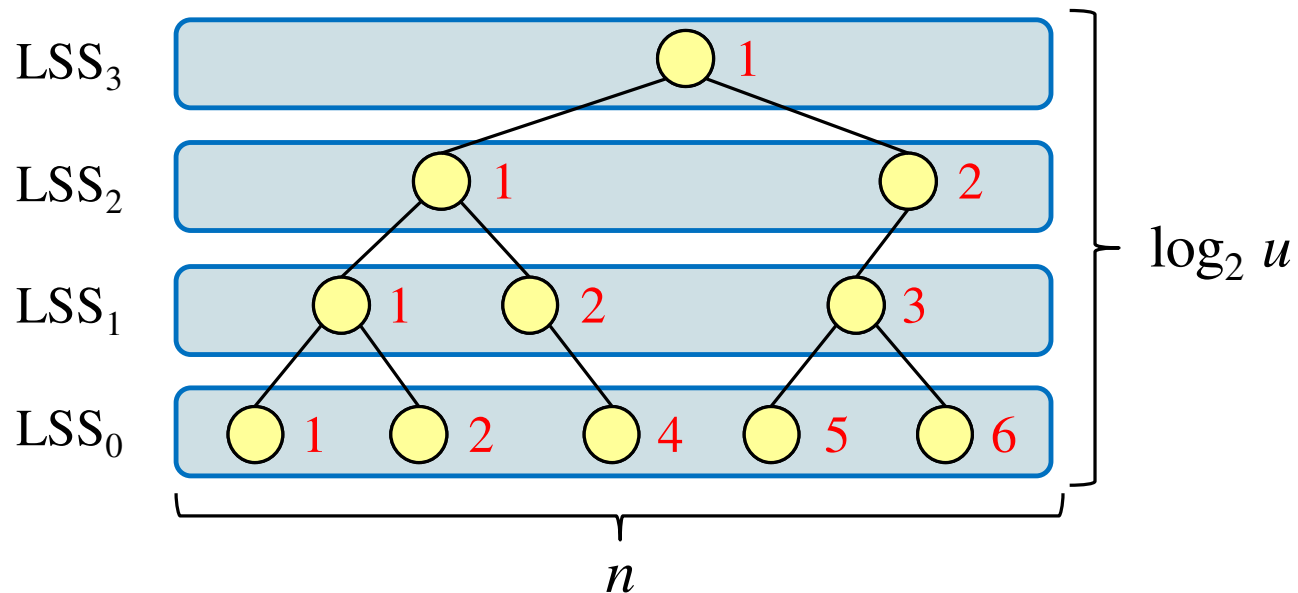
次に、x-fast trie の領域について考察します。

ひとまず、要素数  $k$  の整数集合に対して、 $O(1)$  時間で member クエリに答えることができる  $O(k)$  領域の LSS データ構造があると仮定して話を進めていきましょう。

## x-fast trie の領域計算量 [2/2]

### 定理

x-fast trie の領域計算量は  $O(n \log u)$



この仮定のもとで、x-fast trie の領域計算量は  $O(n \log u)$  で抑えられることが簡単に示せます。

下の図を見てみましょう。

葉の個数は明らかに  $n = |S|$  です。また、x-fast trie の高さは  $\log_2 u$  です。

葉から1段ずつ高さを上がっていくにつれて、LSS に格納する頂点数は明らかに単調非減少します。

よって、x-fast trie の頂点数は  $O(n \log u)$  で上から抑えられます。

前ページの仮定より、x-fast trie の領域は  $O(n \log u)$  で抑えられます。

証明は以上です。

## 演習問題

- ▶ 前ページの図を見ると、高さが上がるにつれて、LSSの要素数は少なくなっている。
- ▶ もしかすると、x-fast trie の領域計算量の見積り  $O(n \log u)$  は緩いのかもしれない。
- ▶ 【問】上記の  $O(n \log u)$  という領域計算量の見積りは厳密だろうか？  
厳密であればその理由を示し、  
そうでなければ、より厳密なオーダーを示せ。

※ 演習問題 提出 ✕ 切: 7月16日(木) 23:59

では、今週の演習問題です。

前ページで解説したように、高さが上がるにつれて、LSSの要素数は単調非減少していき、いつかは1になります(根の高さには1つしか頂点がないため)

この観察によれば、前ページの x-fast trie の領域の見積もり  $O(n \log u)$  は緩い上界なのかもしれません。

では、ここで演習問題です。

上記の  $O(n \log u)$  という領域計算量の見積りは厳密でしょうか？

厳密であればその理由を示し、そうでなければより厳密なオーダーを示してください。

演習の提出 ✕ 切は2週間後の7/16です。

## y-fast trie [1/2]

---

- ▶ y-fast trie: x-fast trie の領域計算量を  $O(n \log u)$  から  $O(n)$  に改良したもの.
    - ▶ 第4回/第5回で紹介した p-fast trie と q-fast trie の関係と同じ.
  - ▶  $S$  をそれぞれ  $\Theta(\log u)$  サイズの部分集合に分割する.
  - ▶ 各部分集合  $S_i$  について, 平衡2分探索木を作る.
  - ▶ 平衡2分探索木の頂点の集合  $T$  に対する x-fast trie を作る.
  - ▶  $S$  に対する y-fast trie は, この x-fast trie と, 各部分集合  $S_i$  に対する平衡2分探索木で構成される.
- 

では、いよいよ本日の本題である y-fast trie を解説していきます。

前述したように、y-fast trie は、x-fast trie の領域計算量を  $O(n \log u)$  から  $O(n)$  に改良したデータ構造で、第4回/第5回で紹介した p-fast trie と q-fast trie の関係と同様のアイデアを用います。

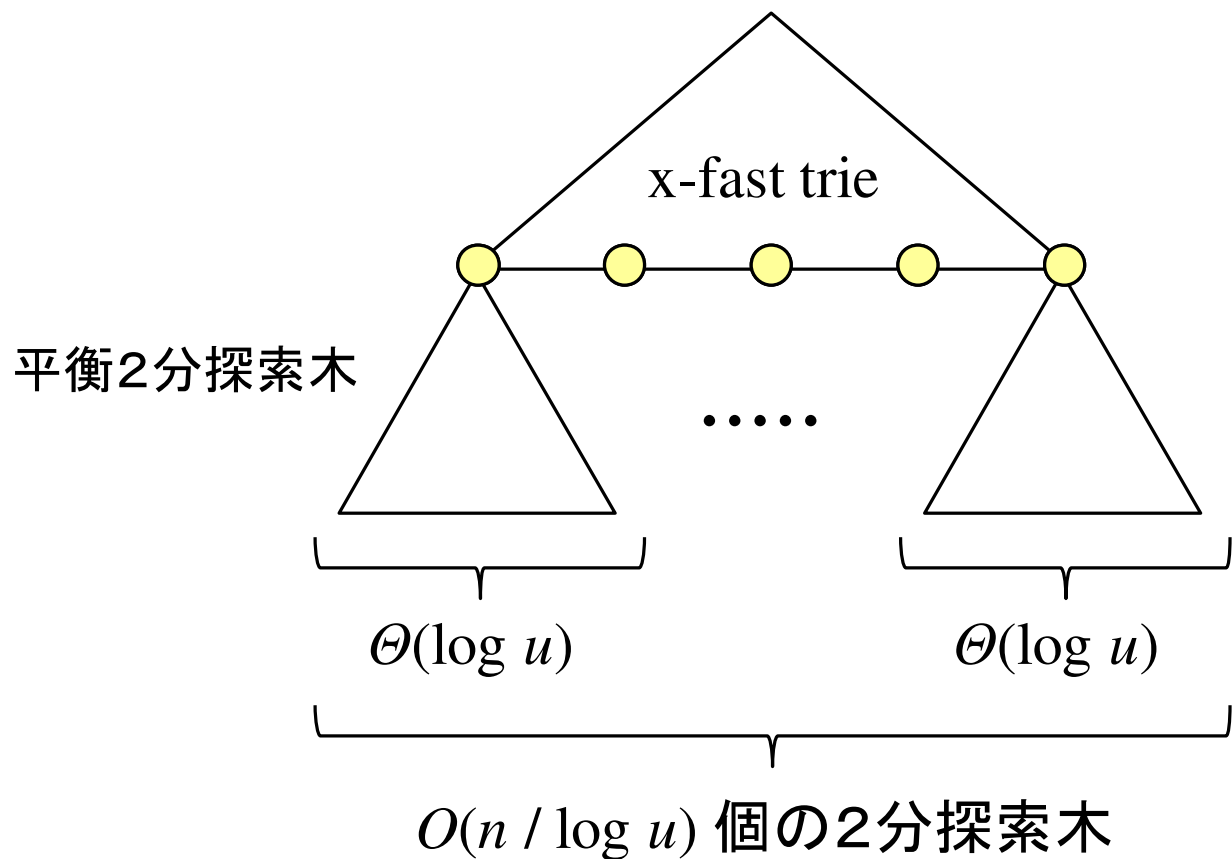
まず、 $S$  をそれぞれ  $\Theta(\log u)$  サイズの部分集合に分割します。

次に、各部分集合  $S_i$  について、平衡2分探索木を作ります。

この平衡2分探索木の頂点の集合  $T$  に対する x-fast trie を作ります。

$S$  に対する y-fast trie は、この x-fast trie と、各部分集合  $S_i$  に対する平衡2分探索木から成ります。

## y-fast trie [2/2]



y-fast trie を図示するとこの  
ような感じになります。

各2分探索木は  $\Theta(\log u)$  個  
の要素を含むので、2分探  
索木の個数は  $O(n / \log u)$   
です。

よって、トップにある x-fast  
trie が管理する集合  $T$  の  
要素数(この図の黄色い頂  
点の数)も  $O(n / \log u)$  です。

## y-fast trie の領域計算量

---

### 定理

y-fast trie の領域計算量は  $O(n)$

#### 【証明の概要】

- ▶ サイズ  $\Theta(\log u)$  の 平衡2分探索木  $\times O(n / \log u)$  個  
=  $O(n)$  領域
  - ▶ サイズ  $O(n / \log u)$  の集合に対する x-fast trie  
=  $O((n / \log u) \log u) = O(n)$  領域
  - ▶ 全体で  $O(n)$  領域
- 

この定理にあるように、y-fast trie の領域は  $O(n)$  であることが示せます。

$\Theta(\log u)$  サイズの平衡2分探索木が  $O(n / \log u)$  個あるので、これらの平衡2分探索木の合計領域は  $O(n)$  です。

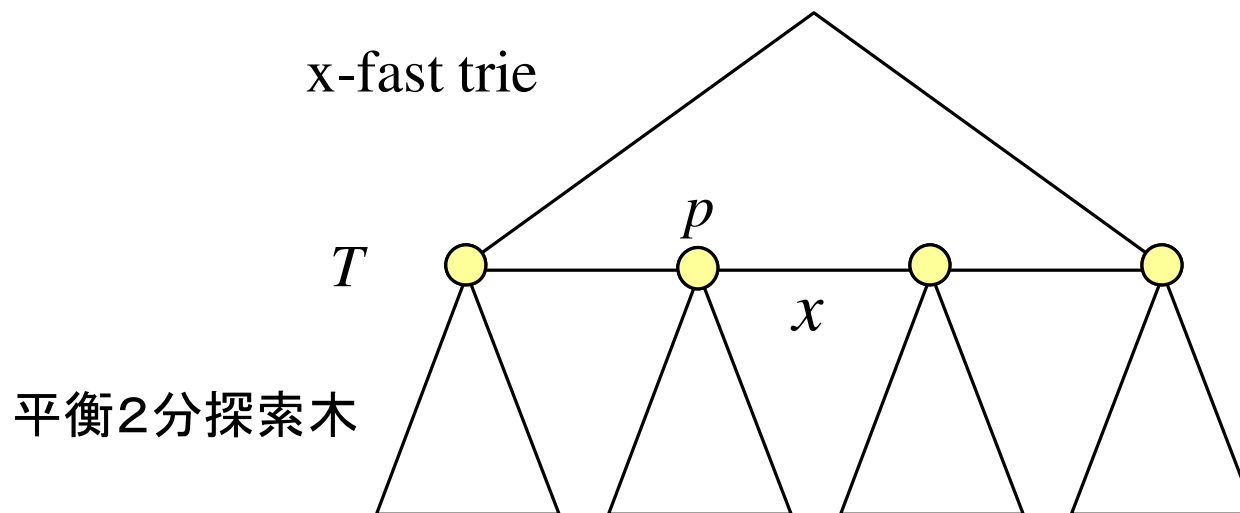
要素数  $O(n / \log u)$  の集合に対する x-fast trie のサイズは  $O((n / \log u) \log u) = O(n)$  となります。

よって、全体で  $O(n)$  領域です。

証明は以上です。

## predecessor クエリ with y-fast trie

1. x-fast trie を用いて  $p = \text{predecessor}(x, T)$  を求める

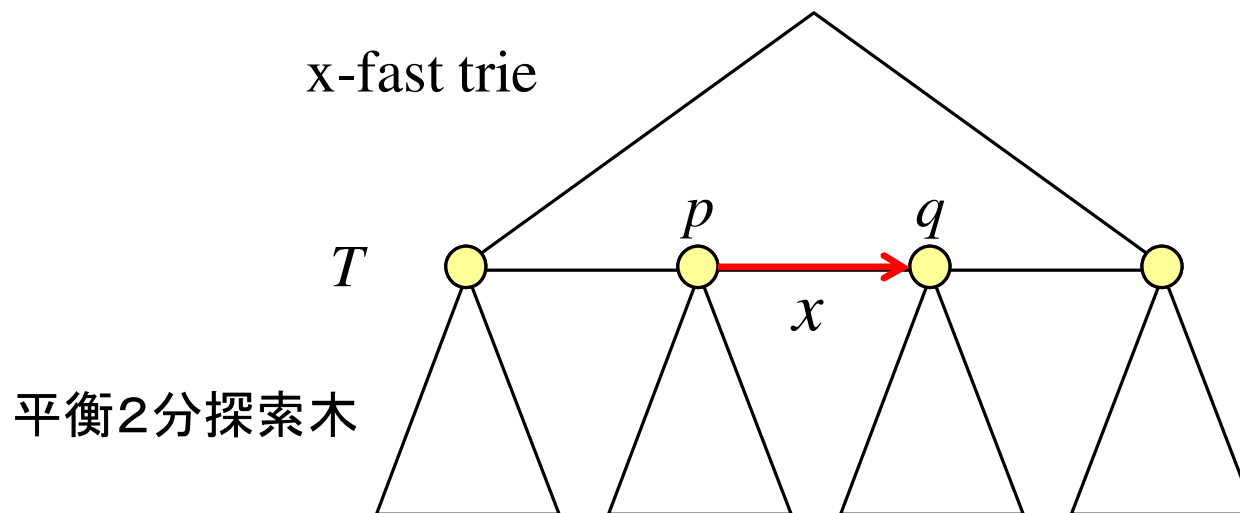


続いて、y-fast trie を用いた  $\text{predecessor}(x, S)$  の計算方法を解説します。

まず、トップにある x-fast trie を用いて  $\text{predecessor}(x, T)$  を求め、その答えを  $p$  とします。

## predecessor クエリ with y-fast trie

### 2. 連結リストを用いて $q = \text{successor}(p, T)$ を求める

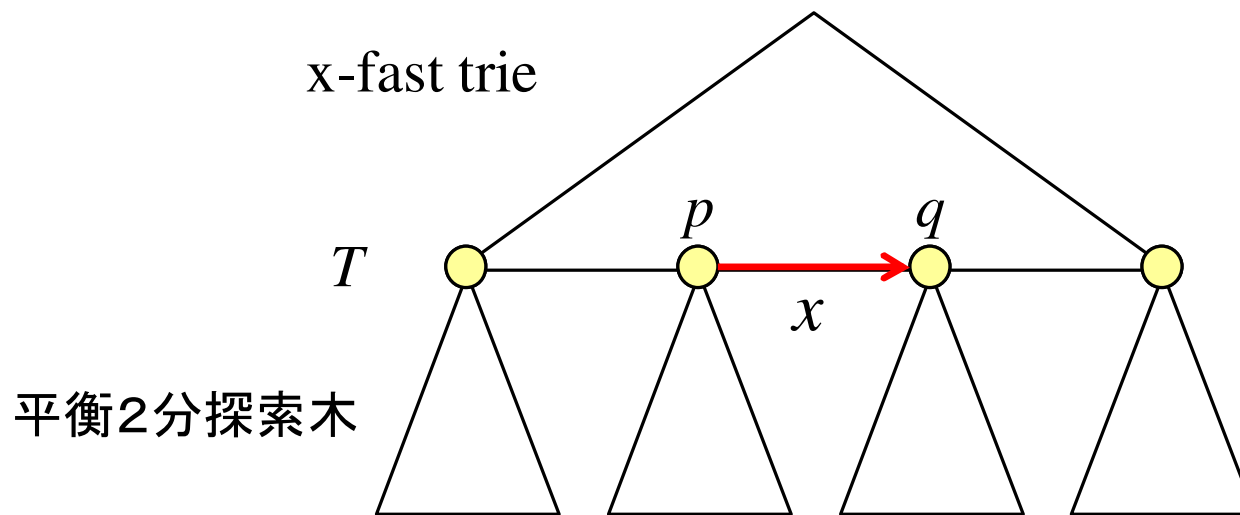


次に、x-fast trie の葉の双方向連結リストを用いて  $\text{successor}(p, T)$  を求め、これを  $q$  とします。



## predecessor クエリ with y-fast trie

3.  $p$  と  $q$  を根とする 平衡2分探索木 から predecessor( $x, S$ ) を求める



最後に、 $p$  と  $q$  を根とする 平衡2分探索木から、predecessor( $x, S$ ) を求めます。

クエリのアルゴリズムは以上です。

## predecessor クエリの時間計算量

### 定理

y-fast trie を用いることにより,  
predecessor( $x, S$ ) を  $O(\log \log u)$  時間で計算できる.

1. x-fast trie を用いて  $p = \text{predecessor}(x, T)$  を求める.
  - ▶  $O(\log \log u)$  時間
2. 連結リストを用いて  $q = \text{successor}(p, T)$  を求める.
  - ▶  $O(1)$ 時間
3.  $p$  と  $q$  を根とする 平衡2分探索木 から  
predecessor( $x, S$ ) を求める.
  - ▶  $O(\log \log u)$  時間 (高さ  $O(\log \log u)$  の2分木の探索)

この方法で、predecessor クエリに  $O(\log \log u)$  時間で応答できます。

x-fast trie の predecessor 探索時間は  $O(\log \log u)$  です。

葉の連結リストを定数時間で辿ったあと、2つの平衡2分探索木から predecessor( $x, S$ ) を求めます。各2分探索木の要素数は  $O(\log u)$  なので、その高さは  $O(\log \log u)$  です。よって、この処理も  $O(\log \log u)$  時間で完了します。

以上をすべて合計して、 $O(\log \log u)$  時間となります。

証明は以上です。

## LSSの実現

---

- ▶ とりあえず, member クエリの計算を  $O(1)$  時間 &  $O(n)$  領域と仮定していたが...
- ▶ 配列: member クエリ  $O(1)$  時間,  $O(u)$  領域
- ▶ リスト: member クエリ  $O(n)$  時間,  $O(n)$  領域

と、ここまで議論を進めてきましたが、これまでの定理はあくまでも LSS における仮定の上で成り立っていました。

集合の要素数を  $n$  とすると、member クエリの計算を  $O(1)$  時間かつ  $O(n)$  領域で実現できる LSS データ構造がある、という仮定です。

もし、スタンダードな配列を LSS に使ったとすると、member クエリは  $O(1)$  時間で実現できますが、配列の領域は全体集合のサイズ  $u$  の線形  $O(u)$  になってしまいます。

リストを LSS に使ったとすると、領域は  $O(n)$  で収まりますが、member クエリには  $O(n)$  時間を要してしまいます。



## LSSの実現

---

- ▶ とりあえず, member クエリの計算を  $O(1)$  時間 &  $O(n)$  領域と仮定していたが...
- ▶ 配列: member クエリ  $O(1)$  時間,  $O(u)$  領域
- ▶ リスト: member クエリ  $O(n)$  時間,  $O(n)$  領域
- ▶ cuckoo hash (Pagh & Rodler, 2001): member クエリ  $O(1)$  時間,  $O(n)$  領域

そこで、今回は member クエリを  $O(1)$  時間で実現する  $O(n)$  領域のデータ構造として、cuckoo hash というデータ構造を紹介します。

これを LSS に使用することで、前ページまでの定理が成立します。

